

برآورد الگوی پراکنش مکانی سرعت باد برای پتانسیل‌یابی تولید انرژی بادی در ایران

معصومه دلبری * - دانشیار، گروه مهندسی آب، دانشکده آب و خاک، دانشگاه زابل
پریسا کهخا مقدم - مری، گروه مهندسی آب، دانشکده آب و خاک، دانشگاه زابل
احسان محمدی - دانشجوی دکتری آبیاری و زهکشی، گروه مهندسی آب، دانشکده آب و خاک، دانشگاه زابل
تارخ احمدی - دانشجوی دکتری آبیاری و زهکشی، گروه مهندسی آب، دانشکده آب و خاک، دانشگاه زابل

پذیرش مقاله: ۱۳۹۴/۰۵/۱۶ تأیید نهایی: ۱۳۹۴/۱۱/۲۰

چکیده

هدف از انجام این پژوهش بررسی توزیع مکانی سرعت و مدت وزش باد در ایران به منظور تعیین مناطق مستعد و با پتانسیل خوب برای احداث توربین‌های بادی است. پارامترهای توزیع ویبول (k و c) میانگین و بیشینه روزانه سرعت باد با استفاده از آمار حدود بیست سال سرعت روزانه باد در 10^4 ایستگاه سینوپتیکی کشور تعیین شد. بررسی تغییرات مکانی میانگین توزیع ویبول ایستگاه‌های مورد مطالعه با محاسبه نیم‌تغییرنمای تجربی انجام گرفت. نتایج نشان داد میانگین روزانه سرعت باد از همبستگی مکانی متوسط با ساختار نمایی و شعاع تأثیر 545 کیلومتر برخوردار است. همچنین، ساختار مکانی سرعت باد همسانگرد و قادر روند تشخیص داده شد. نتایج اعتبارسنجی متقابل تخمین میانگین سرعت باد با استفاده از روش‌های کریجینگ معمولی (OK) و وزن‌دهی عکس فاصله (IDW) حاکی از عملکرد مشابه دو روش بود. بر اساس نقشه پهنه‌بندی شده میانگین سرعت باد، استان‌های واقع در شرق، شمال‌شرق و شمال‌غرب کشور دارای سرعت باد بیش از $3-4 \text{ m/s}$ است. در همین نواحی شهرهای مانند رفسنجان، زابل، خواف، تربت‌جام، الیگودرز، کهنوج و خابنده بیشترین درصد ساعتی از سال دارد که سرعت باد در آن‌ها بیش از 4 m/s است. بنابراین، این مناطق برای استفاده از انرژی بادی مناسب به نظر می‌رسد.

کلیدواژه‌ها: تغییرات مکانی، توزیع ویبول، سرعت باد، میان‌یابی.

مقدمه

انرژی یکی از مهم‌ترین عوامل در پیشرفت و توسعه جوامع بشری است. افزایش جمعیت از یک‌سو و محدودیت منابع فسیلی و افزایش آلودگی محیط‌زیست ناشی از سوزاندن این منابع از سوی دیگر، موجب توسعه کاوش برای منابع پاک و غیرآلاینده شده است. باد یکی از این منابع پاک، تمام‌ناشدنی و رایگان انرژی است. در پایان سال 2010 ، میزان ظرفیت نامی تولید برق بادی در سراسر جهان برابر 197 گیگاوات بود. امروزه، توان بادی در دنیا ظرفیت تولید سالانه 430 تراوات ساعت انرژی الکتریکی را دارد که این میزان $2/5\%$ مصرف برق دنیاست. بادهای جهان جماعتی حدود 2700 تراوات انرژی در خود نهفته دارد که حدود 25 درصد آن در 100 متری از سطح زمین قراردارد. با این حال، حتی 10% این مقدار

انرژی از ظرفیت کل انرژی آبی جهان بیشتر است (شقی، ۱۳۸۲). متأسفانه در ایران استفاده از انرژی باد توسعه زیادی نیافرته است و در جاهای محدودی مانند منجیل و بینالود از آن استفاده می‌شود.

سرعت باد ماهیتی تصادفی دارد که برای مدل سازی آن، لازم است تابع توزیع چگالی احتمال یا تابع توزیع تجمعی احتمال مناسبی انتخاب شود. در این زمینه، مطالعات و تحقیقات زیادی انجام شده و توابع چگالی احتمال متفاوتی آزمون شده است که می‌توان به توابع توزیع احتمال ویبول، رایلی، و توزیع نرمال اشاره کرد. در این بین تابع توزیع ویبول^۱، مناسب‌ترین تابع برای نمایش چگالی احتمال متغیر تصادفی سرعت باد است (بايم و همکاران، ۲۰۰۷). صلاحی (۱۳۸۲) پتانسیل انرژی باد در استان اردبیل را بررسی کرد. نتایج نشان داد که چگالی توان باد در ایستگاه‌های اردبیل، خلخال، پارس‌آباد و مشکین‌شهر به ترتیب ۳۴۲، ۳۶۰، ۴۳۰ و ۷۲ وات در مترمربع است. همچنین، ایستگاه سینوپتیک اردبیل مکانی مناسب برای بهره‌برداری از انرژی باد به حساب می‌آید. کیهانی و همکاران (۲۰۱۰) داده‌های آماری یازده ایستگاه در تهران را برای یافتن پتانسیل باد ارزیابی کردند. بدین منظور از میانگین ساعتی سرعت باد استفاده شد و مقادیر سالانه و ماهانه k و c (پارامتر شکل و پارامتر مقیاس تابع ویبول) به دست آمد. نتایج حاکی از آن بود که بیشترین و کمترین پتانسیل انرژی باد به ترتیب در آوریل و اوت اتفاق می‌افتد و نیز منطقه مورد مطالعه (تهران)، برای تولید برق در مقیاس بزرگ مناسب نیست و تنها برای کاربردهای محلی کوچک و تولید برق برای مزارع دورافتاده مناسب است. باگیورگاس و همکاران (۲۰۱۱) سرعت باد را در ارتفاع ۲۰، ۳۰ و ۴۰ متری سطح زمین و در هفت ایستگاه متفاوت در عربستان سعودی ارزیابی کردند. بدین منظور پارامترهای توزیع ویبول با استفاده از پنج روش مختلف به دست آمد. نتایج آن‌ها نشان داد که رابطه‌ای خطی بین مقدار سرعت باد و پارامتر مقیاس توزیع ویبول وجود دارد. همچنین، مقدار پارامتر شکل توزیع ویبول مستقل از ارتفاع اندازه‌گیری سرعت باد است، ولی پارامتر مقیاس با ارتفاع اندازه‌گیری سرعت باد تغییر می‌کند. مصطفایی‌پور و همکاران (۲۰۱۱) امکان استفاده از انرژی باد را برای شهر بابک در ایران بررسی کردند و نتیجه گرفتند که با توجه به مقادیر سرعت باد اندازه‌گیری شده، این ناحیه مکانی مناسب برای ایجاد نیروگاه بادی نیست و از نظر اقتصادی فقط می‌توان از توربین‌های بادی کوچک برای بعضی نقاط محلی استفاده کرد. پژوهشگران دیگری نیز به بررسی ارزیابی قابلیت‌های انرژی باد در استان‌های مختلف کشور پرداختند (مجرد و همتی، ۱۳۹۱؛ جعفری و همکاران، ۱۳۹۰؛ امیدوار و دهقان طرزجانی، ۱۳۹۱).

گندم کار (۱۳۸۸)، آمار ۱۲۰ ایستگاه سینوپتیکی کشور ایران را برای بررسی پتانسیل انرژی باد به گونه‌ای توصیفی ارزیابی کرد. بر اساس یافته‌های این پژوهش، ایستگاه‌های سینوپتیکی از نظر سرعت وزش باد، در چهار گروه مختلف قرار می‌گیرد. گروه اول، در بیشتر زمان‌های سال بادخیزی زیادی دارند. گروه دوم، در برخی زمان‌های سال در بخش‌هایی از شباهه روز توان بادخیزی زیادی دارد. گروه سوم، در زمان‌های محدودی از سال توان بادخیزی دارد. گروه چهارم، در تمام طول سال توان بادخیزی در خور توجهی ندارد. در بسیاری از مناطق ایران، باد منبع بالقوه تولید انرژی الکتریسیته مطرح است که مطالعات عمیق‌تر و مفصل‌تر راجع به مکان‌یابی مناطق با پتانسیل تولید انرژی بادی مفید واقع می‌شود.

از آنجاکه وجود باد به موقعیت محل بستگی دارد، بهنظر می‌رسد که بتوان بین مقادیر سرعت و مدت وزش باد نقاط مختلف شبکه اندازه‌گیری سرعت باد وابستگی مکانی مشاهده کرد. بهبیان دیگر، انتظار می‌رود سرعت باد، در نقاط نزدیک‌تر دارای شباهت بیشتری نسبت به نقاط دورتر از هم باشد. این ارتباط مکانی از طریق ابزارهای زمین‌آماری مانند تابع نیم‌تغییرنما^۱ به درستی تشخیص داده می‌شود. همبستگی مکانی بین مقادیر سرعت باد از طریق روش‌های میان‌یابی زمین‌آماری (کریجینگ)^۲ در تخمین بهتر سرعت باد در مناطق فاقد آمار و تهیه نقشه پهنه‌بندی شده آن به کار می‌رود. با این حال، تحقیقات محدودی در ارتباط با بررسی تغییرات مکانی و ارزیابی کارایی روش‌های میان‌یابی در برآورد سرعت باد انجام گرفته است. سلورا و همکاران (۲۰۰۸) از روش‌های میان‌یابی وزن‌دهی عکس فاصله^۳ (IDW) و کریجینگ عام^۴ (UK) برای برآورد توزیع مکانی سرعت باد در جزیره سیسیل ایتالیا استفاده و اقدام به بررسی نقاط مستعد برای ایجاد توربین بادی کردند. برای این منظور، نمودار سرعت- تداوم باد ساعتی ترسیم شد و با درنظر گرفتن کمینه سرعت ۳ متر بر ثانیه، به عنوان سرعت مناسب باد برای ایجاد توربین بادی، ایستگاه‌های دارای پتانسیل بیشتر برای احداث توربین بادی مشخص شد. همچنین، نتایج آن‌ها نشان داد که نقشه سرعت باد تولید شده کاملاً مشابه اطلس باد ایتالیاست. لو و همکاران (۲۰۰۸) نیز به مقایسه چندین روش میان‌یابی معین و زمین‌آماری برای برآورد میانگین روزانه سرعت باد در سرتاسر انگلستان و ولز پرداختند. براساس نتایج حاصل، روش‌های زمین‌آماری نسبت به روش‌های معین در برآورد میانگین روزانه سرعت باد از دقت بیشتری برخوردار است.

هدف از انجام این پژوهش تعیین توزیع مکانی سرعت و مدت وزش باد در ایران به منزله گام نخست به منظور مشخص کردن مناطق مستعد و با پتانسیل خوب برای احداث توربین‌های بادی است. در این راستا، ابتدا به توصیف توزیع مقادیر سرعت باد روزانه با استفاده از مدل ویبول پرداخته شد. تحلیل خودهمبستگی مکانی میانگین سرعت باد به دست آمده از توزیع ویبول در ایستگاه‌های مورد مطالعه با محاسبه نیم‌تغییرنما تجربی داده‌ها صورت گرفت. سپس، با استفاده از روش‌های کریجینگ و وزن‌دهی عکس فاصله به میان‌یابی سرعت باد در نقاط فاقد آمار در گستره ایران پرداخته شده و نقشه پهنه‌بندی شده میانگین سرعت باد برای کشور ترسیم شد.

مواد و روش‌ها

منطقه مورد مطالعه

این تحقیق براساس اطلاعات ثبت شده باد، در ۱۰۴ ایستگاه سینوپتیک کشور، برای دوره آماری حدود بیست سال انجام شد. داده‌های مورد استفاده عبارت بود از: (الف) میانگین ساعتی سرعت باد (m/s)، (ب) میانگین روزانه سرعت باد (m/s)، (ج) بیشینه روزانه سرعت باد (m/s)، در ارتفاع ۱۰ متری از سطح زمین که از اداره هواشناسی کشور برای دوره بیست ساله اخذ شد. در شکل ۱ موقعیت ایستگاه‌های مورد استفاده در این تحقیق نشان داده شده است.

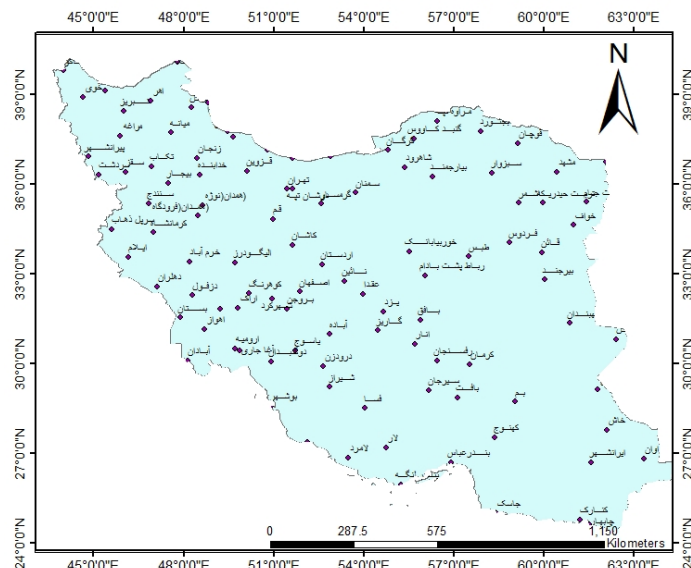
- 1. Semivariogram function
- 2. Kriging
- 3. Inverse distance weighing
- 4. Universal kriging

تجزیه و تحلیل آماری سرعت باد تابع توزیع ویبول

در بیشتر پژوهش‌ها، برای توصیف توزیع سرعت باد، از مدل ویبول دو پارامتری استفاده شده است. چندین روش برای محاسبه پارامترها این مدل (پارامترهای شکل و مقیاس) ارائه شده است (تکل و براون، ۱۹۷۸؛ دانیل و چن، ۱۹۹۱). با این حال تحقیقات نشان داده است که تفاوت معناداری بین روش‌های مختلف برای محاسبه مقادیر پارامترها وجود ندارد (استیونس و اسمودرس، ۱۹۷۹). در این تحقیق برای محاسبه پارامترهای شکل و مقیاس از روش حداقل درست‌نمایی^۱ استفاده شده است. تابع توزیع احتمال ویبول به شرح زیر است.

$$f(V) = \frac{k}{c} \left(\frac{V}{c}\right)^{k-1} \exp\left[-\left(\frac{V}{c}\right)^k\right], \quad (k > 0, V > 0, c > 0) \quad (1)$$

که در آن V سرعت باد (m/s)، c و k پارامترهای توزیع ویبول دو پارامتری است که c پارامتر مقیاس و واحد آن متر بر ثانیه (m/s) و k پارامتر شکل (بدون بعد) است.



شکل ۱. موقعیت ایستگاه‌های سینوپتیکی مورد استفاده در این پژوهش

تابع توزیع تجمعی نیز به صورت زیر است.

$$F(V) = 1 - \exp\left[-\left(\frac{V}{c}\right)^k\right] \quad (2)$$

چنانچه از دو طرف معادله دو مرتبه لگاریتم گرفته شود، معادله (۲) به صورت زیر نوشته می‌شود.

$$\ln \{-\ln [1-F(V)]\} = k \ln(V) - k \ln(c) \quad (3)$$

معادله (۳) معادله‌ای خطی بین $\ln\{-\ln[1-F(V)]\}$ و $\ln(V)$ است که در آن k شیب و $-k \ln(c)$ عرض از مبدأ است.

احتمال اینکه سرعت باد بین مقادیر V_1 و V_2 باشد نیز از معادله زیر محاسبه می‌شود.

$$P(V_1 < V < V_2) = \exp\left[-\left(\frac{V_1}{c}\right)^k\right] - \exp\left[-\left(\frac{V_2}{c}\right)^k\right] \quad (4)$$

با داشتن k و c ، مقادیر میانگین (μ_V) یا امید ریاضی ($E(V)$) و واریانس (σ^2_V) با استفاده از معادلات زیر برآورد می‌شود.

$$\mu_V = E(V) = c \Gamma\left(1 + \frac{1}{k}\right) \quad (5)$$

$$\sigma_V^2 = \mu_V \left[\frac{\Gamma(1+2/k)}{\Gamma(1+1/k)} - 1 \right] \quad (6)$$

که در آن $\Gamma(x) = \int_0^\infty e^{-t} t^{x-1} dt$ ، تابع گاماست.

در روش حداکثر درستنمایی، پارامترهای شکل و مقیاس به صورت زیر تعریف می‌شود (سلورا و همکاران، ۲۰۰۸).

$$c = \left[\frac{1}{n} \sum_{j=1}^n V_j^k \right]^{1/k} \quad (7)$$

$$k = \frac{n}{(1/c) \sum_{j=1}^n V_j^k \ln V_j - \sum_{j=1}^n \ln V_j} \quad (8)$$

که در آن V_j هر یک از داده‌های سرعت باد در ایستگاه مورد نظر و n تعداد داده‌های مورد بررسی است. معادله (۸) معادله‌ای ضمنی است که برای حل آن باید از روش تکرار استفاده کرد. در حالتی که سرعت باد برابر با صفر است، تابع توزیع ویبول (معادله ۱) حالت واقعی سرعت باد را توصیف نمی‌کند. لذا، برای این منظور، تنها از داده‌های غیرصفر استفاده می‌شود. برای محاسبه تمامی موارد مربوط به تابع ویبول از نرم‌افزار اکسل استفاده شد.

روش‌های میان‌یابی

تولید نقشه‌ای که روند مکانی متغیر را براساس مقادیر معلوم آن متغیر در تعداد مشخصی نقطه نشان می‌دهد، عمل رایجی در مدل کردن پدیده‌های محیطی است. در این تحقیق از روش‌های میان‌یابی وزن‌دهی عکس فاصله، کریجینگ معمولی و کریجینگ عام برای تخمین میانگین سرعت باد در نقاط شبکه‌ای منظم استفاده شد که بر پهنه کشور گسترده

شده است. در ادامه مختصه از ویژگی‌های اصلی این روش‌ها آمده است. قبل از آن فرض می‌شود که مقدار یک متغیر (برای مثال، میانگین سرعت باد^۱، MWS) در n ایستگاه با مختصات u_i ($i = 1, \dots, n$) معلوم باشد ($MWS(u_i)$).

وزن دهنی عکس فاصله

در روش وزن دهنی عکس فاصله (IDW)، مقدار میانگین سرعت باد در نقطهٔ فاقد آمار ($MWS^*(u_0)$)، با استفاده از میانگین‌گیری وزنی مقادیر سرعت باد در نقاط مجاورش برآورد می‌شود.

$$MWS^*(u_0) = \sum_{i=1}^{n(u_0)} \lambda_i \cdot MWS(u_i) \quad (9)$$

$$\lambda_i = \frac{D_i^{-\pi}}{\sum_{i=1}^{n(u_0)} D_i^{-\pi}} \quad (10)$$

که در آن λ_i فاکتور وزن، D_i فاصله بین ایستگاه‌های اندازه‌گیری (u_i) و نقطهٔ مورد تخمین (u_0)، $n(u_0)$ تعداد نقاط همسایگی و π توان وزن دهنی فاصله است. در این روش وزن‌ها تنها با توجه به فاصله هر نقطهٔ معرفی شده نسبت به نقطه مورد تخمین و بدون توجه به نحوه پراکندگی نقاط حول آن نقطه تعیین می‌شود. بدین ترتیب، به نقاط نزدیک‌تر وزن بیشتر و به نقاط دورتر وزن کمتری اختصاص داده می‌شود. از طرفی، اگر مقدار واقعی متغیر در نقطهٔ فاقد آمار بیشتر از بیشینه یا کمتر از کمینه مقدار متغیر در همسایگی آن باشد، روش IDW به‌طور صحیح آن را برآورد نمی‌کند.

کریجینگ

فرمول اصلی تخمین در روش زمین‌آماری کریجینگ، همان معادله (۹) است. با این تفاوت که اوزان کریجینگ براساس مدل خودهمبستگی^۲ مکانی بین مقادیر متغیر در نقاطی با فواصل مشخص، تعیین می‌شود. به لحاظ نظری، شباهت بین مقادیر متغیر در نقاطی به فاصله h از یکدیگر با افزایش h کم می‌شود. این ویژگی در زمین‌آمار باتابع نیم‌تعییرنما معرفی می‌شود. در عمل نیم‌تعییرنما تجربی^۳ با استفاده از فرمول (۱۱) محاسبه می‌شود. سپس، بهترین مدل نظری برای استفاده در سیستم معادلات کریجینگ بر آن برآش می‌شود (ایساک و اسرویاستاو، ۱۹۸۹؛ گوارتس، ۱۹۹۷).

$$\gamma^*(h) = \frac{1}{2N(h)} \sum_{i=1}^{N(h)} \{MWS(u_i) - MWS(u_i + h)\}^2 \quad (11)$$

که در آن $(h)^*$ نیم‌تعییرنما تجربی، $MWS(u_i)$ و $MWS(u_i + h)$ به ترتیب مقادیر ثبت‌شده میانگین سرعت باد در نقاط u_i و $u_i + h$ و $N(h)$ تعداد جفت نقاطی است که به فاصله h از یکدیگر قرارگرفته است. رفتار نیم‌تعییرنما در مبدأ مختصات ممکن است سه‌می، خطی یا ناپیوسته باشد و برای مقادیر بزرگ‌تر h مقدار نیم‌تعییرنما افزایش و به دو صورت

1. mean wind speed
2. autocorrelation
3. experimental semivariogram

ادامه می‌یابد: یا در فاصله‌ای مشخص، به حد ثابتی می‌رسد یا تا بینهایت ادامه می‌یابد. در مورد اول به فاصله‌ای که نیم‌تغییرنما به حد ثابت می‌رسد، شعاع تأثیر و به مقدار نیم‌تغییرنما در آن نقطه، آستانه گفته می‌شود (ایساک و اسری‌باشتوا، ۱۹۸۹). تخمینگرهای کریجینگ جزو بهترین تخمینگرهای خطی ناریب است، چرا که تخمینگرهای خطی با کمینه واریانس تخمین است و بهینه‌ترین عملکرد آماری را ارائه می‌دهد. فرضیه اصلی تخمینگر کریجینگ فقط به دو گشتاور اول و دوم میدان فضایی متغیر مرتبط است. همین موضوع باعث شده است که این روش حتی با تعداد کمی داده اندازه‌گیری در دسترس نیز کاربرد داشته باشد. علاوه بر این، تخمینگر کریجینگ همراه با ایجاد تخمین بهینه، واریانس تخمین را نیز در هر نقطه دلخواه ارائه می‌دهد. انواع روش‌های کریجینگ با درنظر گرفتن فرضیه‌های مختلفی از میدان تصادفی متغیر، توسعه یافته است. دو روش معمول و متفاوت، روش‌های کریجینگ معمولی^۱ (OK) و کریجینگ عام (UK) است. روش OK بر فرض میانگین ثابت مقادیر نمونه استوار است، درحالی که این فرض در مورد بسیاری از پدیده‌های محیطی صدق نمی‌کند. در مواردی که میانگین داده‌ها از روند مشخصی در فضا تعییت می‌کند، روش UK (که به آن کریجینگ تحت شرایط وجود روند نیز می‌گویند) به کار می‌رود (گوارتس، ۱۹۹۷). وجود روند از روی روند نیم‌تغییرنما تجربی متغیر تشخیص داده می‌شود (نیم‌تغییرنما فاقد آستانه است). در این روش لازم است ابتدا روند براساس توابع چندجمله‌ای درجه اول یا بالاتر از مختصات جغرافیایی نقاط نمونه مدل شود (ایساک و اسری‌باشتوا، ۱۹۸۹). در این پژوهش، رسم نیم‌تغییرنما و تحلیل خودهمبستگی مکانی داده‌های سرعت باد و ارزیابی متقابل^۲ برآورد سرعت باد با استفاده از نرم‌افزار GS+ (رابرتsson، ۲۰۰۰) انجام گرفت. میانیابی و رسم نقشه‌های پهن‌بندی سرعت باد با استفاده از نرم‌افزار 9.0 ArcGIS (اسری، ۲۰۰۴) انجام گرفت.

یافته‌های پژوهش

در این تحقیق پارامترهای تابع ویبول میانگین و بیشینه سرعت روزانه باد برای هر کدام از ایستگاه‌های مورد بررسی، با روش حداکثر درست‌نمایی تخمین زده شد (جدول‌های ۱ و ۲). در جدول ۱ و ۲، پارامتر شکل (k) دارای تغییرات کمی از ایستگاهی به ایستگاه دیگر است. تغییرات پارامتر مقیاس (c) بیشتر و از نظر عددی مقدار آن نزدیک به مقدار میانگین توزیع ویبول است. بیشینه سرعت دارای واریانس بیشتری نسبت به میانگین سرعت در شرایط نرمال است (سلورا و همکاران، ۲۰۰۸).

شکل ۲‌الف و ۲‌ب به ترتیب توزیع فراوانی بیشینه روزانه سرعت باد را در ایستگاه سمنان (دارای کوچک‌ترین پارامتر شکل) و در ایستگاه بندرعباس (دارای بزرگ‌ترین پارامتر شکل) نشان می‌دهد. فراوانی به دست‌آمده از توزیع چگالی احتمال ویبول (رابطه ۴)، که با به کاربردن پارامترهای شکل و مقیاس از روش حداکثر درست‌نمایی محاسبه شده (جدول ۱)، با فراوانی مشاهده شده سرعت باد مقایسه می‌شود.

1. ordinary kriging
2. cross validation

جدول ۱. پارامترهای تابع ویبول برای سرعت باد بیشینه در ۱۰ متری از سطح زمین

واریانس	E(u)	K	c(m/s)	ایستگاه	واریانس	E(V)	k	c(m/s)	ایستگاه
۴/۶۴۲	۵/۳۰۶	۲/۶۵۱	۵/۹۷۰	رباط پشت بادام	۷/۷۲۸	۶/۹۲۶	۲/۶۸۵	۷/۷۹۰	آبدان
۴/۵۶۳	۴/۰۵۸	۱/۹۸۴	۴/۵۷۸	رشت	۱۱/۶۰۶	۷/۶۷۳	۲/۳۹۹	۸/۶۵۵	آباده
۱۲/۷۹۰	۸/۱۰۶	۲/۴۱۶	۹/۱۴۲	رسنگان	۴/۴۸۹	۴/۲۶۴	۲/۱۱۶	۴/۸۱۵	آستارا
۲۴/۵۳۹	۱۰/۴۱۲	۲/۲۲۱	۱۱/۷۵۶	زابل	۶/۶۶۵	۶/۰۶۰	۲/۵۱۲	۶/۸۲۹	آغا جاری
۸/۴۰۹	۷/۵۹۴	۲/۸۳۹	۸/۵۲۳	زاهدان	۶/۴۰۷	۵/۶۷۴	۲/۳۸۷	۶/۴۰۲	اراک
۶/۶۷۲	۶/۱۴۶	۲/۵۵۱	۶/۹۲۳	زنگان	۱۵/۶۳۵	۹/۶۷۳	۲/۶۳۱	۱۰/۸۶۶	اردبیل
۶/۸۸۴	۶/۹۸۱	۲/۸۹۰	۷/۸۳۰	سبزوار	۸/۳۰۵	۷/۳۲۵	۲/۷۴۶	۸/۲۳۲	اردستان
۶/۵۰۲	۶/۳۹۳	۲/۷۰۴	۷/۱۸۸	سرآوان	۶/۰۷۶	۵/۲۶۲	۲/۲۶۰	۵/۹۴۱	ارومیه
۱۰/۹۰۸	۵/۸۴۶	۱/۸۳۵	۶/۵۸۰	سرپل ذهاب	۸/۷۳۲	۵/۴۸۲	۱/۹۳۳	۶/۱۸۱	اصفهان
۸/۴۷۹	۵/۳۷۸	۱/۹۲۴	۶/۰۶۳	سرخس	۷/۱۰۳	۶/۹۵۵	۲/۸۲۸	۷/۸۰۷	الیگودرز
۱۲/۴۶۱	۶/۶۴۳	۱/۹۶۰	۷/۴۸۱	سردشت	۱۲/۷۶۶	۶/۷۱۲	۱/۹۶۰	۷/۵۷۰	انار
۱۰/۰۱۴	۷/۵۲۷	۲/۵۵۰	۸/۴۷۹	سقز	۹/۳۶۱	۵/۶۴۶	۱/۹۲۲	۶/۳۵۶	انزلی
۹/۹۸۲	۵/۴۹۸	۱/۸۰۱	۶/۱۸۳	سمنان	۸/۰۶۱	۶/۶۸۲	۲/۵۲۰	۷/۵۳۰	اهر
۸/۴۷۱	۶/۳۳۶	۲/۳۱۰	۷/۱۵۲	سنندج	۶/۵۵۸	۵/۶۶۱	۲/۳۵۰	۶/۳۸۸	اهواز
۷/۴۶۴	۶/۷۷۳	۲/۶۷۱	۷/۶۱۹	سیرجان	۹/۲۸۳	۵/۷۶۲	۲/۳۶۰	۷/۶۳۰	ایرانشهر
۶/۶۳۵	۵/۲۱۹	۲/۱۳۲	۵/۸۹۳	شهرود	۹/۹۷۹	۶/۱۹۸	۲/۵۱۱	۶/۹۸۵	ایلام
۸/۰۵۶	۵/۵۸۴	۲/۰۰۲	۶/۳۰۱	شهرکرد	۶/۴۷۷	۵/۰۲۵	۲/۰۷۲	۵/۶۷۳	بابلسر
۷/۸۱۳	۶/۰۶۲	۲/۳۰۰	۶/۸۴۲	شیراز	۹/۱۲۲	۶/۹۵۹	۲/۴۶۱	۷/۸۴۶	بافت
۶/۹۶۳	۵/۳۰۸	۲/۱۱۵	۵/۹۹۳	طبس	۵/۸۱۶	۵/۵۵۱	۲/۴۵۸	۶/۲۵۹	باق
۷/۵۵۱	۶/۱۹۹	۲/۴۰۳	۶/۹۹۳	عقدا	۱۸/۲۳۶	۸/۶۴۸	۲/۱۳۱	۹/۷۶۵	جنورد
۳/۴۱۲	۴/۹۲۳	۲/۸۹۵	۵/۵۲۱	فردوس	۵/۲۰۰	۵/۴۷۲	۲/۵۷۵	۶/۱۶۲	بروجن
۶/۹۹۶	۵/۶۸۴	۲/۲۷۷	۶/۴۱۷	فسا	۷/۴۶۷	۶/۴۵۶	۲/۵۳۰	۷/۲۷۴	بستان
۵/۴۲۹	۵/۵۲۳	۲/۵۴۰	۶/۲۲۳	قائن	۸/۵۹۸	۷/۳۵۸	۲/۷۰۷	۸/۲۷۴	به
۷/۵۸۷	۵/۴۱۲	۲/۰۶۱	۶/۱۱۰	قزوین	۸/۷۵۳	۶/۹۰۱	۲/۴۹۵	۷/۷۷۹	بندر دیر
۹/۳۴۴	۶/۴۰۱	۲/۲۱۲	۷/۲۲۸	قم	۴/۶۴۴	۶/۲۲۰	۳/۱۶۴	۶/۹۴۸	بندرعباس
۵/۸۱۳	۴/۸۰۵	۲/۰۹۳	۵/۴۲۴	قوچان	۶/۰۳۹	۵/۹۱۷	۲/۵۸۵	۶/۶۶۳	بندر لنگه
۵/۲۵۱	۴/۰۳۰	۱/۸۲۲	۴/۵۳۴	کاشان	۷/۱۶۹	۶/۸۷۸	۲/۷۷۹	۷/۷۲۶	بوشهر
۳/۷۷۰	۴/۲۸۲	۲/۳۴۳	۴/۸۳۲	کاشمر	۷/۴۷۷	۵/۸۷۶	۲/۲۷۶	۶/۶۳۳	پیارگمند
۱۲/۶۵۷	۸/۲۷۴	۲/۴۸۷	۹/۳۲۷	کرمان	۱۳/۳۵۴	۷/۷۲۹	۲/۲۳۶	۸/۷۲۶	بیجار
۶/۴۳۲	۶/۵۹۶	۲/۸۱۷	۷/۴۰۶	کرمانشاه	۶/۰۳۰	۶/۶۱۲	۲/۹۲۹	۷/۴۱۳	بیرجند
۵/۰۴۹	۶/۴۶۵	۳/۱۵۳	۷/۲۲۳	کنارک	۶/۲۸۵	۵/۲۲۱	۲/۱۹۸	۵/۸۹۵	پارس آباد
۵/۳۹۰	۵/۵۲۰	۲/۵۴۹	۶/۲۱۹	کوهرنگ	۸/۶۰۴	۶/۱۶۴	۲/۲۲۱	۶/۹۶	پیرانشهر
۱۱/۸۴۷	۷/۹۴۸	۲/۴۶۷	۸/۹۶۱	کهنوچ	۱۱/۲۸۵	۷/۱۰۶	۲/۲۳۷	۸/۰۲۳	تبیز

ادامه جدول ۱. پارامترهای تابع ویبول برای سرعت باد بیشینه در ۱۰ متری از سطح زمین

واریانس	E(u)	K	c(m/s)	ایستگاه	واریانس	E(V)	k	c(m/s)	ایستگاه
۴/۸۶۶	۶/۱۴۲	۳/۰۴۰	۶/۸۷۴	گاریز	۶/۴۵۴	۷/۲۷۵	۳/۱۳۷	۸/۱۳۰	تریت جام
۶/۶۲۰	۴/۶۴۵	۱/۸۷۵	۵/۲۳۲	گرگان	۶/۶۴۵	۶/۰۴۹	۲/۵۱۲	۶/۸۱۷	تریت حیدریه
۹/۳۷۴	۶/۱۲۵	۲/۱۰۲	۶/۹۱۵	گرمسار	۸/۷۰۵	۷/۰۰۶	۲/۵۴۵	۷/۸۹۲	تکاب
۲/۸۴۰	۳/۶۱۷	۲/۲۷۳	۴/۰۸۳	گنبد کاووس	۱۰/۲۹۳	۶/۶۶۲	۲/۱۹۱	۷/۵۲۳	تهران
۵/۶۱۴	۵/۵۸۰	۲/۵۲۲	۶/۲۸۸	لار	۶/۴۹۲	۶/۸۴۰	۲/۹۱۹	۷/۶۶۹	جاسک
۵/۸۹۴	۵/۲۴۷	۲/۲۹۱	۵/۹۲۳	لامرد	۱۱/۳۶۸	۶/۵۰۳	۲/۰۱۸	۷/۳۳۹	جلفا
۱۰/۱۵۳	۶/۰۵۶	۱/۹۸۵	۶/۸۳۲	ماکو	۳/۹۱۲	۵/۶۷۶	۳,۱۴۴	۶/۳۴۳	چابهار
۸/۲۵۸	۶/۲۷۳	۲/۳۱۷	۷/۰۸۰	مراغه	۶/۸۹۱	۶/۱۳۸	۲/۰۵۲	۶/۹۱۸	خاش
۱۱/۰۸۵	۶/۸۳۱	۲/۱۶۲	۷/۷۱۳	مراوه تپه	۱/۶۱۴.	۷/۸۶۰	۲/۵۹۱	۸/۸۵۱	خدابنده
۵/۶۴۴	۵/۴۵۴	۲/۴۵۱	۶/۱۵۰	مسجد سلیمان	۵/۷۸۲	۶/۰۰۷	۲/۶۹۴	۶/۷۵۶	خرم آباد
۶/۱۰۶	۵/۹۱۱	۲/۵۶۶	۶/۶۵۷	مشهد	۱۴/۳۸۱	۸/۳۸.	۲/۳۴۹	۹/۴۵۷	خواف
۷/۸۲۰	۵/۴۹۳	۲/۰۶۰	۶/۲۰۱	میانه	۵/۸۰۱.	۴/۲۷۵	۱/۸۴۱	۴/۸۱۲	خوربیابانک
۶/۶۶۰	۶/۴۸۰	۲/۷۰۹	۷/۲۸۶	نائین	۱۱/۳۲۵	۶/۰۵۹	۱/۸۷۰	۶/۸۲۵	خوی
۹/۸۴۱	۵/۶۵۱	۱/۸۷۱	۶/۳۶۵	نوشهر	۵/۱۰۱	۵/۰۱۵	۲/۳۶۱	۵/۶۵۹	درودزن
۹/۵۱۸	۶/۲۶۶	۲/۱۳۸	۷/۰۷۶	نهیندان	۷/۵۹۹	۵/۵۰۴	۲/۰۹۸	۶/۲۱۵	دزفول
۸/۸۳۶	۶/۴۴۶	۲/۳۰۰	۷/۲۷۷	همدان(فرودگاه)	۸/۹۳۵	۵/۲۰۹	۱/۸۰۳	۵/۸۵۸	دوشان تپه
۱۲/۸۵۴	۸/۱۵۱	۲/۴۲۴	۹/۱۹۳	همدان(نوژه)	۵/۲۹۶	۵/۰۳۸	۲/۵۸۳	۶/۲۳۶	دوگنبدان
۵/۲۲۰	۵/۱۶۹	۲/۴۱۱	۵/۸۳۰	یاسوج	۹/۶۴۷	۵/۹۳۵	۱/۹۹۷	۶/۶۹۷	دهلران
۶/۹۳۰	۵/۸۸۴	۲/۳۷۹	۶/۶۳۹	یزد	۸/۴۰۷	۵/۴۱۷	۱/۹۴۸	۶/۱۰۹	رامسر

جدول ۲. پارامترهای تابع ویبول برای سرعت باد متوسط در ۱۰ متری از سطح زمین

واریانس	E(u)	K	c(m/s)	ایستگاه	واریانس	E(V)	K	c(m/s)	ایستگاه
۲/۱۳۸	۳/۳۹۱	۲/۴۷۹	۳/۸۲۳	رباط پشت بادام	۳/۴۶۷	۳/۶۷۰	۲/۰۶۷	۴/۱۴۳	آبادان
۱/۲۶۴	۲/۰۵۱	۱/۸۹۷	۲/۳۱۱	رشت	۲/۵۹۴	۲/۸۹۵	۱/۸۶۷	۳/۲۶۱	آباده
۳/۳۸۲	۴/۵۷۶	۲/۶۸۱	۵/۱۴۷	رسنگان	۰/۸۵۸	۲/۰۱۵	۲/۳۰۸	۲/۲۷۴	آستانه
۱۶/۹۵۸	۶/۶۸۸	۱/۶۶۹	۷/۴۸۶	زابل	۲/۶۶۲	۳/۴۷۴	۲/۲۵۳	۳/۹۲۲	آغا جاری
۳/۱۶۴	۳/۳۴۲	۱/۹۶۰	۳/۷۶۹	زاهدان	۱/۳۸۷	۲/۳۴۳	۲/۰۹۰	۲/۶۴۶	اراک
۱/۴۸۴	۲/۸۱۴	۲/۴۶۸	۳/۱۷۲	زنجان	۶/۲۹۰	۴/۳۰۵	۱/۷۷۳	۴/۸۳۷	اردبیل
۲/۶۵۹	۳/۴۶۲	۲/۲۴۶	۳/۹۰۹	سیبزار	۳/۹۸۹	۴/۳۱۹	۲/۲۹۲	۴/۸۷۵	اردستان
۲/۵۳۳	۳/۱۸۲	۲/۱۰۰	۳/۵۹۲	سروان	۱/۰۳۳	۲/۳۲۴	۲/۴۴۰	۲/۶۲۱	ارومیه
۲/۶۸۶	۲/۷۳۴	۱/۷۱۹	۳/۰۶۷	سرپل ذهاب	۱/۴۴۳	۲/۳۴۷	۲/۰۴۷	۲/۶۴۹	اصفهان
۲/۹۱۲	۳/۰۸۲	۱/۸۷۷	۳/۴۷۲	سرخس	۲/۷۴۲	۴/۰۶۲	۲/۶۳۹	۴/۵۷۱	الیگودرز
۶/۳۵۸	۴/۰۳۰	۱/۶۴۰	۴/۵۰۵	سردشت	۱/۷۳۶	۲/۴۶۳	۱/۹۴۹	۲/۷۷۸	انار

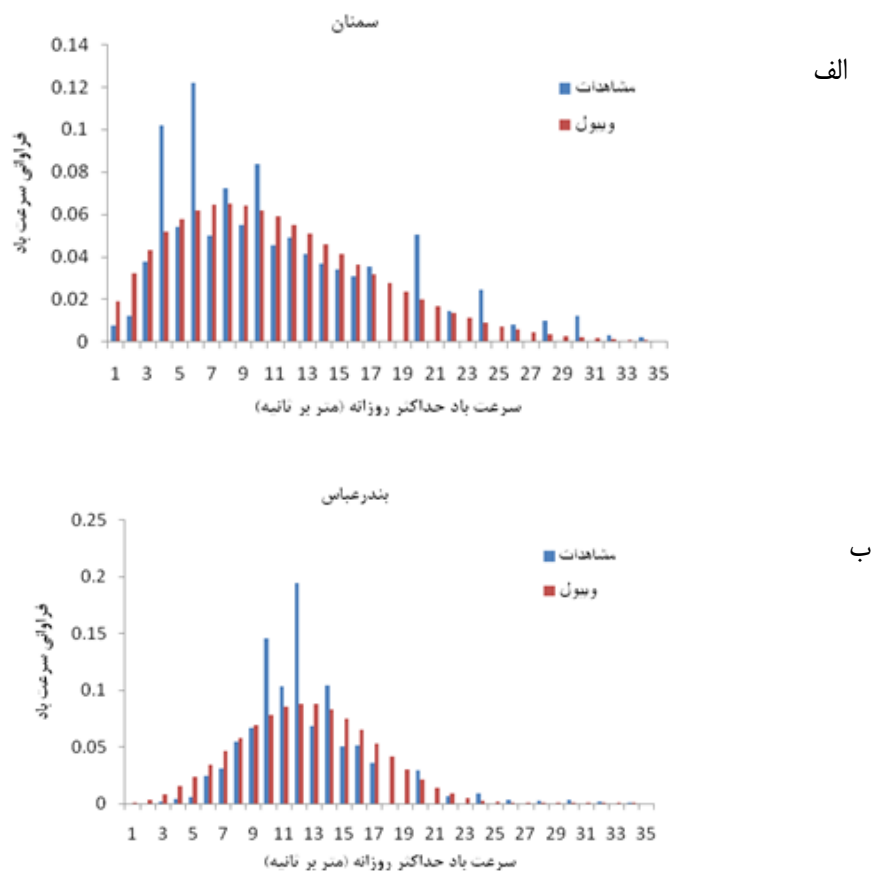
ادامه جدول ۲. پارامترهای تابع ویبول برای سرعت باد متوسط در ۱۰ متری از سطح زمین

واریانس	E(u)	K	c(m/s)	ایستگاه	واریانس	E(V)	K	c(m/s)	ایستگاه
۲/۲۷۰	۲/۹۲۶	۲/۰۳۴	۳/۳۰۳	سقز	۲/۸۲۵	۲/۸۲۹	۱/۷۳۶	۳/۱۷۵	انزلی
۲/۵۰۰	۲/۸۰۳	۱/۸۳۸	۳/۱۵۴	سمنان	۲/۹۰۶	۳/۴۰۴	۲/۰۹۸	۳/۸۴۳	اهر
۱/۶۷۷	۲/۵۲۶	۲/۰۴۴	۲/۸۵۱	سنندج	۲/۰۰۱	۲/۹۷۷	۲/۲۲۴	۳/۳۶۱	اهواز
۳/۱۷۶	۳/۱۳۳	۱/۸۲۱	۳/۰۲۵	سیرجان	۱/۳۹۴	۲/۹۷۵	۲/۷۲۰	۳/۳۴۵	ایرانشهر
۱/۳۷۵	۲/۳۸۶	۲/۱۴۱	۲/۶۹۴	شهرود	۱/۴۹۰	۲/۵۵۶	۲/۲۱۲	۲/۸۸۷	ایلام
۱/۷۶۹	۲/۳۵۸	۱/۸۳۸	۲/۶۵۴	شهرکرد	۱/۲۶۴	۲/۳۰۶	۲/۱۶۲	۲/۶۰۴	بابلسر
۱/۰۶۰	۲/۳۰۰	۲/۳۷۸	۲/۵۹۵	شیرواز	۲/۸۹۵	۳/۲۶۰	۲/۰۰۴	۳/۶۷۹	بافت
۱/۴۰۵	۲/۵۰۷	۲/۲۳۷	۲/۸۳۱	طبس	۲/۴۸۶	۳/۱۰۷	۲/۰۶۶	۳/۵۰۷	بافق
۲/۷۵۷	۳/۶۹۷	۲/۳۶۹	۴/۱۷۲	عقدا	۴/۰۵۹	۳/۶۲۳	۱/۸۶۷	۴/۰۸۱	بنجنورد
۱/۲۳۰	۲/۶۷۸	۲/۵۹۳	۳/۰۱۵	فردوس	۲/۲۰۳	۲/۹۴۳	۲/۰۸۱	۳/۳۲۲	بروجن
۰/۹۱۵	۲/۰۸۱	۲/۳۰۸	۲/۳۴۹	فسا	۲/۷۰۱	۳/۶۶۲	۲/۳۷۱	۴/۱۳۲	بستان
۲/۰۸۳	۲/۹۲۴	۲/۱۳۲	۳/۰۰۲	قائن	۲/۹۸۹	۳/۶۲۳	۲/۲۱۴	۴/۰۹۱	بم
۱/۰۸۳	۲/۱۴۰	۲/۱۶۷	۲/۴۱۶	قزوین	۵/۶۴۶	۳/۹۳۹	۱/۷۰۷	۴/۴۱۶	بندر دیر
۲/۰۰۹	۲/۸۹۱	۲/۱۴۷	۳/۲۶۴	قم	۱/۲۲۳	۲/۸۹۲	۲/۸۳۵	۳/۲۴۶	بندرعباس
۱/۸۱۷	۲/۷۳۷	۲/۱۳۷	۳/۰۹	قوچان	۲/۳۸۳	۲/۳۷۰	۲/۳۱۷	۳/۸۰۴	بندر لگه
۰/۹۱۲	۱/۹۴۸	۲/۱۴۹	۲/۲۰۰	کاشان	۲/۹۰۲	۳/۲۲۷	۱/۹۷۸	۳/۶۴۰	بوشهر
۱/۱۹۲	۲/۳۸۴	۲/۳۱۸	۲/۶۹۱	کاشمر	۳/۵۶۱	۳/۴۸۳	۱/۹۲۲	۳/۹۲۷	پیارچمند
۲/۵۴۳	۳/۱۱۷	۲/۰۴۹	۳/۰۱۸	کرمان	۵/۹۸۵	۴/۵۳۱	۱/۹۲۹	۵/۱۰۸	بیجار
۱/۵۴۴	۲/۷۴۰	۲/۳۴۳	۳/۰۹۲	کرمانشاه	۱/۶۹۱	۲/۷۰۸	۲/۱۹۹	۳/۰۵۸	بیرجند
۲/۳۵۱	۳/۲۲۰	۲/۲۱۹	۳/۶۳۶	کنارک	۲/۵۴۰	۲/۹۲۲	۱/۹۰۷	۳/۲۹۳	پارس آباد
۱/۵۸۴	۲/۴۵۱	۲/۰۴۰	۲/۷۶۶	کوهرنگ	۳/۱۹۳	۳/۲۹۲	۱/۹۱۸	۳/۷۱۱	پیرانشهر
۵/۱۶۵	۴/۴۶۱	۲/۰۵۸	۵/۰۳۵	کهنوج	۲/۳۳۴	۳/۴۰۵	۲/۳۷۱	۳/۸۴۲	تبریز
۲/۱۶۸	۳/۶۴۷	۲/۶۶۸	۴/۱۰۳	گاریز	۴/۰۱۵	۴/۴۲۶	۲/۳۴۸	۴/۹۹۵	تریت جام
۱/۲۶۹	۲/۳۷۳	۲/۲۲۶	۲/۶۷۹	گرگان	۲/۴۹۸	۳/۰۵۴	۲/۰۲۳	۳/۴۴۷	تریت حیدریه
۲/۸۸۷	۳/۲۸۹	۲/۰۲۶	۳/۷۱۲	گرمسار	۲/۵۹۳	۳/۰۱۰	۱/۹۵۰	۳/۳۹۵	تاب
۰/۹۴۵	۲/۲۲۳	۲/۴۴۰	۲/۰۵۷	گند کاووس	۲/۳۰۶	۲/۹۲۲	۲/۰۱۳	۳/۲۹۸	تهران
۱/۶۴۱	۲/۶۴۱	۲/۱۷۴	۲/۹۸۲	لار	۳/۷۷۱	۴/۲۴۴	۲/۳۲	۴/۷۹۰	جاسک
۱/۸۱۷	۲/۷۷۱	۲/۱۶۷	۳/۱۲۹	لامرد	۴/۵۰۱	۳/۵۸۷	۱/۷۴۴	۴/۰۲۷	جلفا
۲/۵۳۴	۲/۸۷۳	۱/۸۷۵	۳/۲۳۶	ماکو	۲/۰۲۶	۳/۲۶۴	۲/۴۴۸	۳/۶۸۰	چابهار
۲/۹۷۰	۳/۴۴۴	۲/۱۰۰	۳/۸۸۹	مراغه	۲/۴۶۵	۳/۱۶۹	۲/۱۲۸	۳/۵۷۹	خاش
۳/۲۷۴	۳/۴۰۸	۱/۹۶۶	۳/۸۴۴	مراوه تپه	۴/۷۲۰	۴/۳۸۰	۲/۱۲۰	۴/۹۴۵	خدابنده
۱/۴۰۲	۲/۴۲۹	۲/۱۶۱	۲/۷۴۳	مسجد سلیمان	۱/۰۷۷	۲/۴۵۵	۲/۵۳۴	۲/۷۶۵	خرم آباد
۱/۲۶۳	۲/۶۷۷.	۲/۰۵۴	۳/۰۱۵	مشهد	۹/۹۱۶	۵/۵۸۵	۱/۸۳۹	۶/۲۸۷	خواف

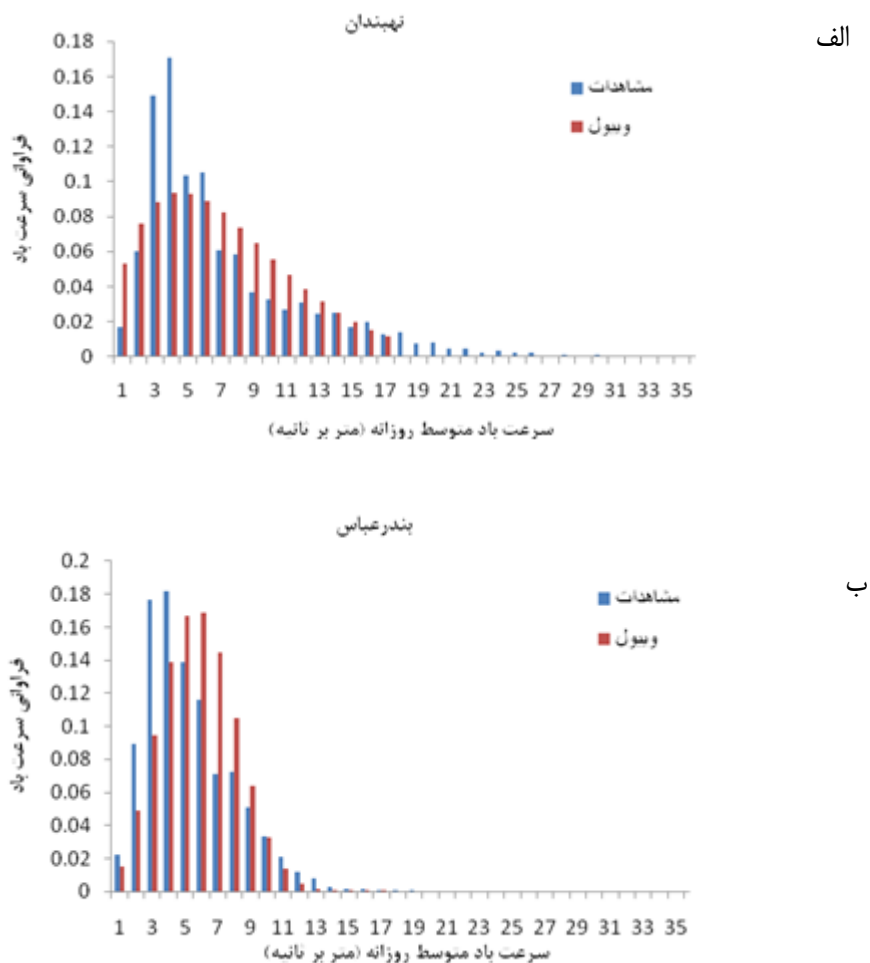
ادامه جدول ۲. پارامترهای تابع ویبول برای سرعت باد متوسط در ۱۰ متری از سطح زمین

واریانس	E(u)	K	c(m/s)	ایستگاه	واریانس	E(V)	K	c(m/s)	ایستگاه
۲/۰۰۴	۲/۸۸۲	۲/۱۴۳	۳/۲۵۴	میانه	۱/۸۵۶	۲/۵۳۳	۱/۹۳۸	۲/۸۵۶	خوبی‌بابانک
۳/۵۷۲	۴/۱۲۴	۲/۳۱۶	۴/۶۵۵	نائین	۱/۹۲۳	۲/۵۲۲	۱/۸۹۱	۲/۸۴۲	خوی
۱/۵۰۸	۲/۶۰۶	۲/۲۴۵	۲/۹۴۲	نوشهر	۱/۴۱۰	۲/۶۰۷	۲/۳۳۲	۲/۹۴۲	درودزن
۵/۳۵۵	۳/۶۲۹	۱/۶۰۶	۴/۰۵۰	نهیندان	۱/۳۳۱	۲/۲۸۱	۲/۰۷۵	۲/۵۷۶	دزفول
۱/۸۳۳	۲/۵۹۲	۲/۰۰۲	۲/۹۲۵	همدان(فروندگاه)	۱/۰۰۲	۲/۱۶۸	۲/۲۹۶	۲/۴۴۷	دوشان تپه
۲/۱۸۹	۳/۳۵۰	۲/۴۱۴	۳/۷۷۹	همدان(نوژه)	۱/۲۳۳	۲/۴۰۵	۲/۲۹۷	۲/۷۱۴	دوگبدان
۰/۶۸۵	۱/۹۶۹	۲/۵۵۰	۲/۲۱۸	یاسوج	۳/۳۰۱	۳/۲۳۶	۱/۸۴۸	۳/۶۴۳	دهران
۱/۳۶۴	۲/۷۷۶	۲/۵۴۸	۳/۱۲۷	بیزد	۱/۱۰۴	۲/۳۰۴	۲/۳۲۸	۲/۶۰۱	راسر

شكل ۳الف و ۳ب توزیع فراوانی میانگین روزانه سرعت باد مشاهده شده و به دست آمده از توزیع چگالی احتمال ویبول را برای دو ایستگاه نهیندان و بندر عباس (به ترتیب دارای کوچکترین و بزرگترین مقدار پارامتر شکل) نشان می دهد. نتایج شکل ۲الف و ۲ب و شکل ۳الف و ۳ب نشان می دهد که تابع توزیع ویبول توانسته است به طریق مناسبی توزیع فراوانی سرعت باد را شبیه سازی کند.



شکل ۲. فراوانی سرعت باد بیشینه روزانه مشاهده شده و محاسبه شده با استفاده از تابع ویبول برای دوره آماری مورد استفاده در ایستگاه سمنان (الف) و بندر عباس (ب)



شکل ۳. فراوانی سرعت باد متوسط روزانه مشاهده شده و محاسبه شده با استفاده ازتابع ویبول برای ایستگاه سمنان (الف) و بندر عباس (ب)

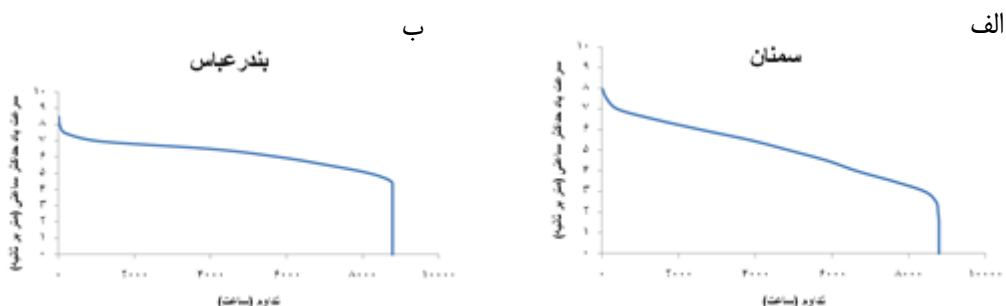
در ادامه منحنی‌های تداوم-سرعت باد بیشینه و متوسط روزانه، به ترتیب برای ایستگاه‌های سمنان و بندرعباس (شکل ۴الف و ۴ب)، و نهبندان و بندرعباس (شکل ۵الف و ۵ب) ترسیم شد. در این منحنی‌ها، محور افقی بیانگر تعداد روزهای سال و محور عمودی نشان‌دهنده سرعت باد است. این منحنی‌ها برای به دست آوردن مدت بهره‌برداری از توربین بادی در طول سال استفاده شده است. منحنی‌های با شیب تند نشان‌دهنده سرعت باد بی‌قاعده و نامرتب و منحنی‌های پهن و هموار نشان‌دهنده سرعت باد منظم‌تر است. منحنی‌های تداوم رسم‌شده برای ایستگاه‌های مورد نظر اطلاعات به دست آمده از پارامتر شکل را نیز تصدیق می‌کند. در واقع، هرچه مقدار k افزایش‌یابد، مطابق آن نقطه اوج توزیع ویبول تیزتر می‌شود که نشان‌دهنده تغییرات کمتر سرعت باد است. در پژوهشی دیگر، در تعیین توزیع باد، سلووا و همکاران (۲۰۰۸) نیز به نتایج مشابهی دست یافتند.

در جدول ۳، برای هر ایستگاه، درصد ساعاتی از سال ارائه شده است که در آن میانگین روزانه سرعت باد در ارتفاع ۱۰ متری از سطح زمین بیش از 4 m/s (آستانه سرعت باد معمول برای بسیاری از توربین‌های بادی تجاری؛ صلاحی،

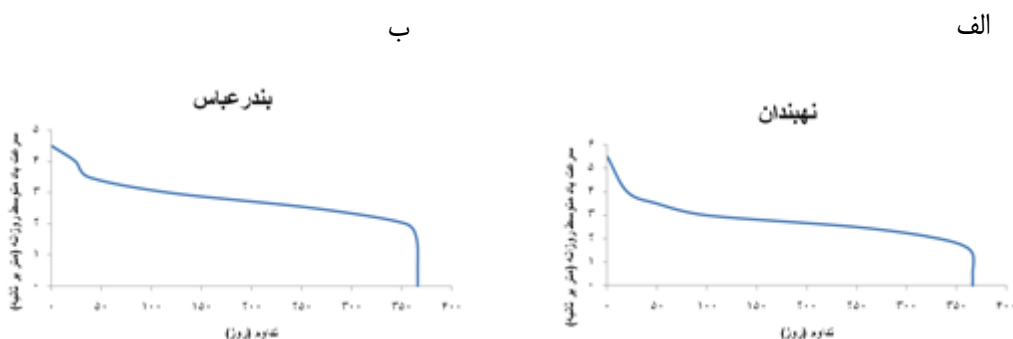
(۱۳۸۲) است. با مشاهده این جدول، می‌توان استدلال کرد که بهترین و مستعدترین محل‌ها برای بهره‌برداری از انرژی باد شهرهایی مانند رفسنجان، زابل، تربت‌جام، الیگودرز، خابنده، اردبیل و کهنوج است.

گندم کار (۱۳۸۸) نیز نشان داد که بسیاری از نواحی ایران از جمله نواحی شرقی کشور، نواحی ساحلی دریای عمان، همچنین نقاط پراکنده‌ای همچون رفسنجان، اردبیل، بیجار و منجیل پتانسیل ایجاد توربین بادی را داراست. توربین بادی آزمایشی نصب شده در لوتک (زابل) توربینی ۶۰ کیلوواتی است که تاکنون بیش از ۴ میلیون کیلووات ساعت برق پاک تولید کرده و نشان‌دهنده شرایط مناسب منطقه برای احداث نیروگاه بادی است (سایت تابناک، ۱۳۹۲). هم‌دیدی یزد، دشت اردبیل و کوه‌های سبلان نیز مکان‌های مناسبی برای بهره‌گیری از انرژی باد شناخته شده است (جعفری و همکاران، ۱۳۹۲؛ صلاحی، ۱۳۸۲؛ امیدوار و دهقان طزرجانی، ۱۳۹۱).

شایان ذکر است که عواملی مانند اغتشاش، یخ‌بندان، موافع، ذرات شن و نمک در هوا، نامسطح‌بودن و شبیه زمین که سبب افزایش قیمت نگهداری توربین، کوتاهی عمر و افت انرژی تولیدی خواهد شد نیز از مسائلی است که باید در استقرار توربین‌های بادی در منطقه ارزیابی کرد.



شکل ۴. نمودار تداوم - سرعت باد بیشینه روزانه برای ایستگاه‌های سمنان (الف) و بندرعباس (ب)



شکل ۵. نمودار تداوم - سرعت باد متوسط روزانه برای ایستگاه‌های نهبندان (الف) و بندرعباس (ب)

جدول ۳. تعداد و درصد ساعت سال که سرعت باد متوسط در 10 متری از سطح زمین بیش از $4m/s$ است

ایستگاه	باد بیش از ۴ m/s است	که میانگین سرعت باد بیش از ۴ m/s است	تعداد ساعتی از سال	درصد ساعتی از سال	ایستگاه	باد بیش از ۴ m/s است	که میانگین سرعت باد بیش از ۴ m/s است	تعداد ساعتی از سال	درصد ساعتی از سال
آبادان	۱۹۳۰/۲۲	۱۹۳۰/۲۲	۱۹۳۰/۲۲	۱۹۳۰/۲۲	پارس آباد	۱۹۷۴/۰۱	۱۹۷۴/۰۱	۱۹۷۴/۰۱	۱۹۷۴/۰۱
آباده	۱۹۷۴/۰۱	۱۹۷۴/۰۱	۱۹۷۴/۰۱	۱۹۷۴/۰۱	بیجار	۱۹۵۰/۹۶	۱۹۵۰/۹۶	۱۹۵۰/۹۶	۱۹۵۰/۹۶
آستارا	۱۹۵۰/۹۶	۱۹۵۰/۹۶	۱۹۵۰/۹۶	۱۹۵۰/۹۶	بیرجند	۱۹۷۲/۱۴	۱۹۷۲/۱۴	۱۹۷۲/۱۴	۱۹۷۲/۱۴
آغا جاری	۱۹۷۲/۱۴	۱۹۷۲/۱۴	۱۹۷۲/۱۴	۱۹۷۲/۱۴	پارس آباد	۱۹۷۴/۰۱	۱۹۷۴/۰۱	۱۹۷۴/۰۱	۱۹۷۴/۰۱
اراک	۱۹۷۴/۰۱	۱۹۷۴/۰۱	۱۹۷۴/۰۱	۱۹۷۴/۰۱	بیمارجمند	۱۹۷۸/۸۴	۱۹۷۸/۸۴	۱۹۷۸/۸۴	۱۹۷۸/۸۴
اردبیل	۱۹۷۸/۸۴	۱۹۷۸/۸۴	۱۹۷۸/۸۴	۱۹۷۸/۸۴	کرمانشاه	۱۹۷۰/۱۴	۱۹۷۰/۱۴	۱۹۷۰/۱۴	۱۹۷۰/۱۴
اردستان	۱۹۷۰/۱۴	۱۹۷۰/۱۴	۱۹۷۰/۱۴	۱۹۷۰/۱۴	کرمان	۱۹۷۰/۱۵	۱۹۷۰/۱۵	۱۹۷۰/۱۵	۱۹۷۰/۱۵
ارومیه	۱۹۷۰/۱۵	۱۹۷۰/۱۵	۱۹۷۰/۱۵	۱۹۷۰/۱۵	کاشمر	۱۹۷۴/۶۵	۱۹۷۴/۶۵	۱۹۷۴/۶۵	۱۹۷۴/۶۵
اصفهان	۱۹۷۴/۶۵	۱۹۷۴/۶۵	۱۹۷۴/۶۵	۱۹۷۴/۶۵	کاشان	۱۹۷۴/۰۱	۱۹۷۴/۰۱	۱۹۷۴/۰۱	۱۹۷۴/۰۱
الیگودرز	۱۹۷۴/۰۱	۱۹۷۴/۰۱	۱۹۷۴/۰۱	۱۹۷۴/۰۱	قزوین	۱۹۷۰/۳۱	۱۹۷۰/۳۱	۱۹۷۰/۳۱	۱۹۷۰/۳۱
انار	۱۹۷۰/۳۱	۱۹۷۰/۳۱	۱۹۷۰/۳۱	۱۹۷۰/۳۱	گرگان	۱۹۷۰/۱۵	۱۹۷۰/۱۵	۱۹۷۰/۱۵	۱۹۷۰/۱۵
انزلی	۱۹۷۰/۱۵	۱۹۷۰/۱۵	۱۹۷۰/۱۵	۱۹۷۰/۱۵	گیلانغرب	۱۹۷۰/۱۴	۱۹۷۰/۱۴	۱۹۷۰/۱۴	۱۹۷۰/۱۴
اهرم	۱۹۷۰/۱۴	۱۹۷۰/۱۴	۱۹۷۰/۱۴	۱۹۷۰/۱۴	گیلانشرق	۱۹۷۰/۱۰	۱۹۷۰/۱۰	۱۹۷۰/۱۰	۱۹۷۰/۱۰
اهواز	۱۹۷۰/۱۰	۱۹۷۰/۱۰	۱۹۷۰/۱۰	۱۹۷۰/۱۰	رشت	۱۹۷۰/۰۸	۱۹۷۰/۰۸	۱۹۷۰/۰۸	۱۹۷۰/۰۸
ایرانشهر	۱۹۷۰/۰۸	۱۹۷۰/۰۸	۱۹۷۰/۰۸	۱۹۷۰/۰۸	رفسنجان	۱۹۷۰/۰۷	۱۹۷۰/۰۷	۱۹۷۰/۰۷	۱۹۷۰/۰۷
ایلام	۱۹۷۰/۰۷	۱۹۷۰/۰۷	۱۹۷۰/۰۷	۱۹۷۰/۰۷	زابل	۱۹۷۰/۰۶	۱۹۷۰/۰۶	۱۹۷۰/۰۶	۱۹۷۰/۰۶
بابلسر	۱۹۷۰/۰۶	۱۹۷۰/۰۶	۱۹۷۰/۰۶	۱۹۷۰/۰۶	کنگاور	۱۹۷۰/۰۵	۱۹۷۰/۰۵	۱۹۷۰/۰۵	۱۹۷۰/۰۵
بافت	۱۹۷۰/۰۵	۱۹۷۰/۰۵	۱۹۷۰/۰۵	۱۹۷۰/۰۵	کوهدشت	۱۹۷۰/۰۴	۱۹۷۰/۰۴	۱۹۷۰/۰۴	۱۹۷۰/۰۴
باقق	۱۹۷۰/۰۴	۱۹۷۰/۰۴	۱۹۷۰/۰۴	۱۹۷۰/۰۴	کلیم	۱۹۷۰/۰۳	۱۹۷۰/۰۳	۱۹۷۰/۰۳	۱۹۷۰/۰۳
بندر بجهود	۱۹۷۰/۰۳	۱۹۷۰/۰۳	۱۹۷۰/۰۳	۱۹۷۰/۰۳	کلیم	۱۹۷۰/۰۲	۱۹۷۰/۰۲	۱۹۷۰/۰۲	۱۹۷۰/۰۲
بروجن	۱۹۷۰/۰۲	۱۹۷۰/۰۲	۱۹۷۰/۰۲	۱۹۷۰/۰۲	کلیم	۱۹۷۰/۰۱	۱۹۷۰/۰۱	۱۹۷۰/۰۱	۱۹۷۰/۰۱
بسستان	۱۹۷۰/۰۱	۱۹۷۰/۰۱	۱۹۷۰/۰۱	۱۹۷۰/۰۱	کلیم	۱۹۷۰/۰۰	۱۹۷۰/۰۰	۱۹۷۰/۰۰	۱۹۷۰/۰۰
بم	۱۹۷۰/۰۰	۱۹۷۰/۰۰	۱۹۷۰/۰۰	۱۹۷۰/۰۰	کلیم	۱۹۷۰/۰۰	۱۹۷۰/۰۰	۱۹۷۰/۰۰	۱۹۷۰/۰۰
بندر دیر	۱۹۷۰/۰۰	۱۹۷۰/۰۰	۱۹۷۰/۰۰	۱۹۷۰/۰۰	کلیم	۱۹۷۰/۰۰	۱۹۷۰/۰۰	۱۹۷۰/۰۰	۱۹۷۰/۰۰
بندرعباس	۱۹۷۰/۰۰	۱۹۷۰/۰۰	۱۹۷۰/۰۰	۱۹۷۰/۰۰	کلیم	۱۹۷۰/۰۰	۱۹۷۰/۰۰	۱۹۷۰/۰۰	۱۹۷۰/۰۰
بوشهر	۱۹۷۰/۰۰	۱۹۷۰/۰۰	۱۹۷۰/۰۰	۱۹۷۰/۰۰	کلیم	۱۹۷۰/۰۰	۱۹۷۰/۰۰	۱۹۷۰/۰۰	۱۹۷۰/۰۰
بیمارجمند	۱۹۷۰/۰۰	۱۹۷۰/۰۰	۱۹۷۰/۰۰	۱۹۷۰/۰۰	کلیم	۱۹۷۰/۰۰	۱۹۷۰/۰۰	۱۹۷۰/۰۰	۱۹۷۰/۰۰
پارس آباد	۱۹۷۰/۰۰	۱۹۷۰/۰۰	۱۹۷۰/۰۰	۱۹۷۰/۰۰	کلیم	۱۹۷۰/۰۰	۱۹۷۰/۰۰	۱۹۷۰/۰۰	۱۹۷۰/۰۰

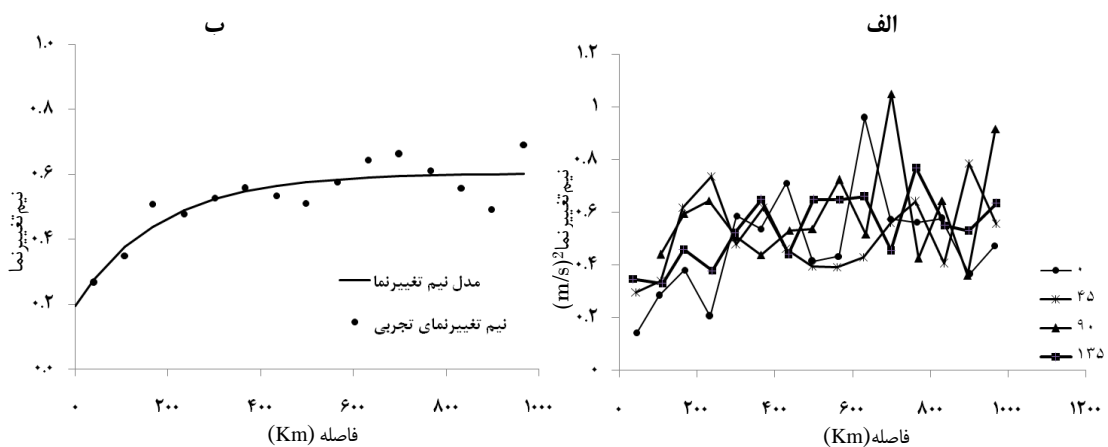
ادامه جدول ۳. تعداد و درصد ساعات سال که سرعت باد متوسط در 10 m/s است

پیش از 4 m/s	بیش از 4 m/s است	ایستگاه	که میانگین سرعت باد	درصد ساعتی از سال	تعداد ساعتی از سال	پیش از 4 m/s است	باد پیش از 4 m/s است	ایستگاه	که میانگین سرعت باد	درصد ساعتی از سال	تعداد ساعتی از سال
۲۱/۳	۱۸۶۵/۱۸	کوهرنگ	۲۵/۲	۲۲۱۱/۶۴	پیرانشهر						
۴۵/۷	۴۰۰۷/۳۳	کهنهوج	۳۶/۵	۳۱۹۸/۸۶	تبزیز						
۳۱/۹	۲۷۹۵/۹	گاریز	۵۸/۵	۵۱۲۴/۹۶	تریت جام						
۱۴/۷	۱۲۸۹/۸	گرگان	۲۹/۵	۲۵۸۶	تریت حیدریه						
۲۲/۴	۱۹۶۱/۸۷	گرمسار	۲۵/۴	۲۲۲۶/۳۵	تکاب						
۷/۷	۶۷۴/۸۸	گنبد کاووس	۲۹/۶	۲۵۹۳/۵۷	تهران						
۱۷/۶	۱۵۳۹/۹۷	لار	۴۰/۶	۳۵۵۶/۶۵	جاسک						
۱۵/۹	۱۳۹۵/۳۹	لامرد	۲۸/۲	۲۴۷۲/۲۱	جلفا						
۲۲/۹	۲۰۰۷/۱۳	ماکو	۳۹/۷	۳۴۷۴/۵۷	چاپهار						
۳۴/۳	۳۰۰۸/۳۳	مراغه	۳۰/۲	۲۶۴۱/۱۴	خاش						
۳۵	۳۰۶۸/۹۲	مراوه تپه	۴۷/۳	۴۱۴۳/۱۱	خدابنده						
۲۱/۵	۱۸۸۰/۱۱	مسجد سلیمان	۲۳/۱	۲۰۲۳/۴۳	خرم آباد						
۲۵	۲۱۹۳/۱۴	مشهد	۳۸/۱	۳۳۱۷/۶۶	خوف						
۱۸/۶	۱۶۲۷/۰۲۴	میانه	۱۱/۹	۱۰۳۹/۹۵	خوربیابانک						
۳۴/۲	۲۹۹۴/۶۷	نائین	۱۴/۵	۱۲۷۳/۳	خوی						
۱۸/۹	۱۶۵۱/۳۹	نوشهر	۱۷/۴	۱۵۲۴/۹۷	دروزن						
۲۹/۱	۲۵۴۶/۳۵	نهیندان	۱۶/۹	۱۴۸۴/۶۵	دزفول						
۲۳	۲۰۱۰/۴۳	(همدان) فرودگاه	۱۳/۶	۱۱۹۴/۸۶	دوشان تپه						
۳۸/۲	۳۳۴۷/۱۴	(همدان) نوژه	۲۱/۷	۱۸۹۸	دوگنبدان						
۱۵/۲	۱۳۳۱/۱۵	یاسوج	۲۵/۱	۲۱۹۷/۸۶	دهلران						
۳۰/۵	۲۶۷۴/۹۵	یزد	۱۶/۸	۱۴۶۹/۵۷	رامسر						

تحلیل خودهمبستگی مکانی سرعت باد

برای میان یابی کریجینگ نیاز به ایجاد نیم تغییرنمای تجربی میانگین توزیع ویبول در ایستگاه های سینوپتیکی کشور است. در شکل عالف، نیم تغییرنمای تجربی جهت دار میانگین توزیع ویبول سرعت روزانه باد (مستخرج از جدول ۱) نشان داده شده است. همان طور که ملاحظه می شود ساختار مکانی میانگین روزانه سرعت باد در چهار جهت ۹۰° , ۴۵° و ۱۳۵° درجه (رسم شده براساس انحراف زاویه $۲۲/۵$ درجه) مشابه یکدیگر و همگی در فاصله تقریبی ۵۰۰ کیلومتر به حد ثابتی رسیده است. بنابراین، میانگین روزانه سرعت باد فاقد روند و همسانگرد فرض شده و نیم تغییرنمای همه جهته آن ترسیم شده است و بهترین مدل نظری براساس حصول کمترین خطای برآورد در روش اعتبارسنجی متقابل، بر آن برآذش شد (شکل عب). مدل منتخب، مدل نمایی با اثر قطعه ای $(m/s)^2$ ، آستانه $۰/۶۰۲$ و شاعع تأثیر ۵۴۵ کیلومتر

است. لو و همکاران (۲۰۰۸) در تحلیل تغییرات مکانی میانگین روزانه سرعت باد، بهترین مدل نظری را مدل کروی با شاعع تأثیر کمتر از ۱۰۰ کیلومتر گزارش کردند. از طرفی، در تحقیق فیلیپس و مارکس (۱۹۹۶)، ساختار مکانی سرعت باد در فصول زمستان، بهار و تابستان، نمایی با شاعع تأثیر بهتری ۹۱، ۹۰ و ۴۵ کیلومتر گزارش شد.



شکل ۶. نیم تغییرنما جهت‌دار (الف) و همه‌جهته (ب) میانگین توزیع ویول سرعت روزانه باد

میان‌یابی مکانی سرعت باد

با استفاده از روش OK و مشخصات مدل نیم تغییرنما همه‌جهته، میانگین سرعت باد برای گره‌های شبکه‌ای منظم تعریف و بر گستره ایران میان‌یابی شد. نقشه پهنه‌بندی شده و نقشه خطای تخمین مرتبط با آن در شکل ۷ نشان داده شده است. از طرفی، نقشه سرعت باد تولیدشده به روش IDW (با توان ۲) نیز در شکل ۸ ارائه شده است. توان ۲ براساس نتایج اعتبارسنجی متقابل تخمین میانگین روزانه سرعت باد انتخاب شد. بین توان‌های ۰/۵، ۱، ۲، ۳، ۴ که در این پژوهش ارزیابی شد، توان ۲ کمترین میزان RMSE و MBE را موجب می‌شود. بررسی اجمالی نقشه‌های تولیدشده حاکی از آن است که مناطق کوهستانی در شمال و غرب کشور دارای سرعت باد کمتری نسبت به سایر مناطق است. در بیشتر مناطق شرقی و استان‌های شمال‌غربی (استان‌های آذربایجان‌غربی و شرقی، اردبیل و زنجان) کشور، سرعت باد به بیش از ۳m/s و حتی در برخی مناطق (محدوده مرزهای شرق و شمال شرقی کشور) به بیش از ۴m/s می‌رسد. بنابراین، این مناطق در اولویت طراحی توربین‌های بادی برای استفاده از انرژی باد است. این در حالی است که در نیمه غربی کشور (به جز استان‌های واقع در شمال‌غربی کشور)، میانگین سرعت باد کمتر از ۳m/s است و در بخش‌هایی از شمال کشور (حاشیه دریای خزر) و جنوب کشور، سرعت به زیر ۲/۵m/s می‌رسد.

همان‌طور که در شکل ۷ مشاهده می‌شود، بین نقشه‌های تولیدشده به روش کریجینگ و روش وزن‌دهی عکس فاصله تفاوت‌هایی وجود دارد که به ساختار و فرضیه‌های حاکم بر هر روش بستگی دارد. نقشه تولیدشده به روش OK (شکل ۷) میانگین تغییرات مقادیر برآورده میانگین سرعت باد را کمی کمتر از روش IDW-2 (شکل ۸) نشان می‌دهد.

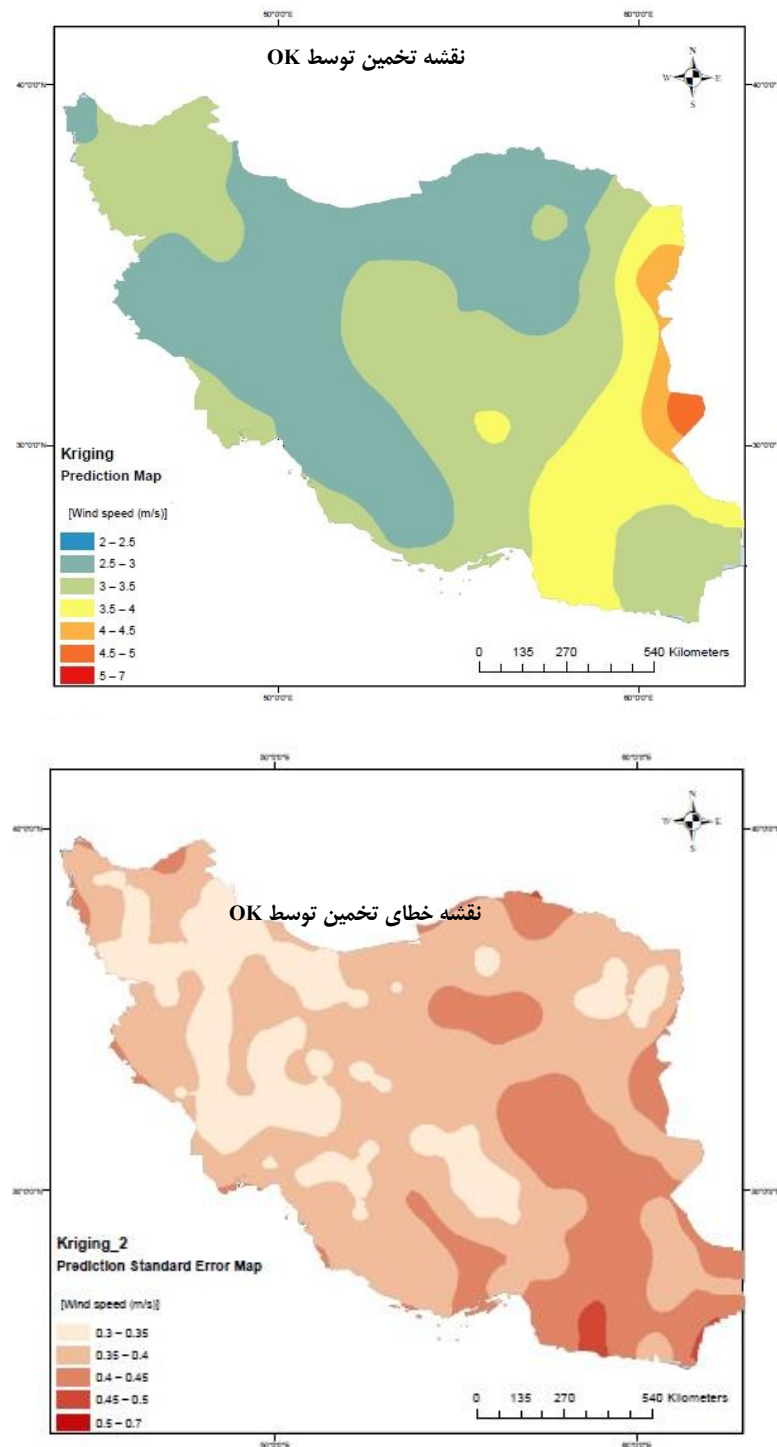
به عبارت دیگر، مقادیر بسیار بزرگ، کم‌برآورده و مقادیر خیلی کوچک بیش‌برآورده شده است. این ویژگی از مشخصات اصلی روش OK است که تمایل به پیراپی از سطح برآورده شده دارد (گوارتس، ۱۹۹۷). در روش IDW، در مناطقی که ایستگاه‌ها غیریکنواخت و تنک توزیع شده است (مانند نواحی شرقی کشور)، چنانچه در جهاتی ایستگاه‌ها به صورت خوش‌خواه قرارگرفته باشد، وزن‌های اختصاص‌یافته به این نقاط بیشتر است. بنابراین، مقادیر برآورده شده بیشتر تحت تأثیر مناطق با تراکم بیشتر قرارخواهد گرفت. با وجود این، نقاطی که به صورت ایزوله قرارگرفته است، در همه جهات اثرگذار خواهد بود که این اثر به طور یکنواخت با دورشدن از محل ایستگاه کاهش می‌یابد، لذا منجر به تولید الگوی چشم‌گاوی^۱ در سطح میان‌یابی شده می‌شود. این الگو معمولاً در نقشه‌های تولیدشده به روش وزن‌دهی عکس فاصله قابل مشاهده است (لو و همکاران، ۲۰۰۸؛ دلبری و همکاران، ۲۰۱۳). از طرفی، برخلاف روش OK، در روش IDW-2 همبستگی مکانی بین ایستگاه‌ها در فرایند تخمین درنظر گرفته نشده و وزن‌ها تنها براساس فاصله از نقطه مورد تخمین تعیین می‌شود.

برای مقایسه دقیق‌تر روش‌های مورد استفاده، عملکرد آن‌ها از طریق فن اعتبارسنجی متقابل بررسی شد (جدول ۴). همان‌طور که مشاهده می‌شود هرچند که روش OK دارای RMSE کمتر و r (ضریب همبستگی) بیشتری نسبت به روش IDW است، این اختلاف چندان قابل توجه نیست. بنابراین، می‌توان گفت هر دو روش دارای عملکرد مشابهی در تخمین میانگین سرعت باد روزانه در گستره کشور است. در تحقیق سلورا و همکاران (۲۰۰۸) روش IDW عملکرد بهتری در تهیه نقشه سرعت باد نسبت به روش UK داشت. این در حالی است که در پژوهش لو و همکاران (۲۰۰۸) روش‌های زمین‌آماری از دقت بیشتری نسبت به روش IDW برخوردار بود. قابل ذکر است که روش OK برخلاف روش IDW قادر به ارائه نقشه عدم قطعیت تخمین نیز است. در شکل ۷، نقشه انحراف معیار تخمین کریجینگ نشان داده شده است. با توجه به این نقشه، قسمت‌هایی از غرب، شمال‌غربی و شمال‌شرقی کشور دارای کمترین میزان عدم قطعیت تخمین است. بنابراین، برآوردهای انجام‌شده در این نواحی اطمینان بالایی دارد. از طرف دیگر، بیشترین عدم قطعیت تخمین در بخش‌هایی از سرک و جنوب‌شرقی کشور مشاهده می‌شود. با توجه به نقشه موقعیت ایستگاه‌های مورد مطالعه (شکل ۱) می‌توان نتیجه گرفت که بیشترین میزان عدم قطعیت در نواحی با تراکم کم ایستگاه‌ها رخ داده است.

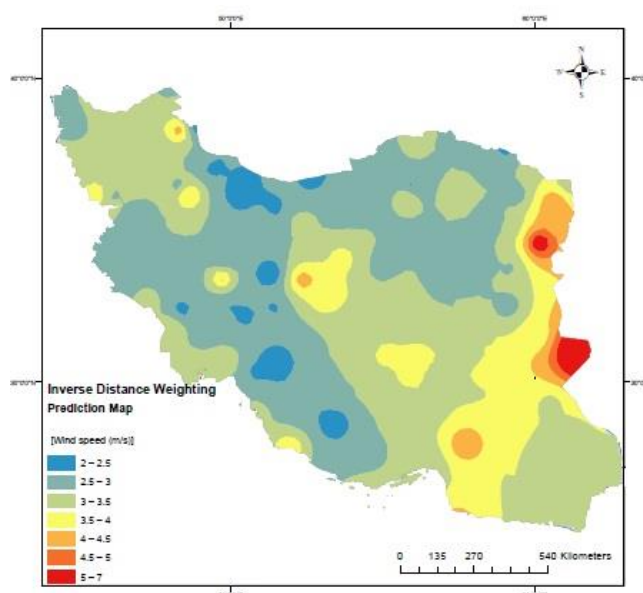
جدول ۴. نتایج اعتبارسنجی متقابل برآورد میانگین سرعت باد توسط روش‌های میان‌یابی به کاررفته

روش میان‌یابی	R	RMSE (m/s)	MBE (m/s)
OK	.۵۸/۰	.۶۷/۰	.۰/۰۰
IDW-2	.۵۶/۰	.۶۹/۰	.۰/۰۰

1. bulls eye



شکل ۷. نقشه پهنه‌بندی میانگین سرعت باد در ارتفاع ۱۰ متری و خطای تخمین تولیدشده توسط روش OK



شکل ۸. نقشهٔ پهنه‌بندی میانگین سرعت باد در ارتفاع ۱۰ متری تولیدشده توسط IDW-2

نتیجه‌گیری

در این تحقیق توزیع فراوانی میانگین و بیشینه سرعت باد روزانه در تعدادی از ایستگاه‌های سینوپتیکی کشور با استفاده از مدل ویبول به طور رضایت‌بخشی شبیه‌سازی شد. نتایج نشان داد که ایستگاه‌های زابل و کاشان بهترتب دارای بیشترین (بیش از ۶m/s) و کمترین (کمتر از ۲m/s) میانگین ویبول سرعت باد متوسط روزانه در ارتفاع ۱۰ متری از سطح دریا است. از طرفی، براساس مقادیر پارامتر شکل (k) توزیع ویبول، ایستگاه‌های نهبندان و بندرعباس بهترتب دارابودن کمترین و بیشترین k، از بیشترین و کمترین تغییرات متوسط روزانه سرعت باد برخوردار است. این در حالی است که کمترین و بیشترین تغییرات بیشینه روزانه سرعت باد بهترتب با دارابودن مشاهده شد.

براساس نتایج تحلیل خودهمبستگی مکانی، میانگین سرعت باد دارای ساختار مکانی متوسط و شعاع تأثیر ۵۴۵ کیلومتر است. براساس نتایج اعتبارسنجی متقابل، روش‌های OK و IDW از عملکرد مشابهی برای تخمین میانگین سرعت باد برخوردار بود. در این پژوهش، نقشهٔ میانگین سرعت باد متوسط روزانه به هر دو روش تولید شد. نقشه‌های تولی شده در شناسایی مناطق دارای سرعت باد مناسب برای تولید انرژی بادی، اولین قدم در پتانسیل‌یابی تولید انرژی بادی در ایران است. بر این اساس، مناطق شرقی و شمال‌غربی ایران مانند شهرهای رفسنجان، زابل، تربت‌جام و اردبیل از سرعت باد مناسب و مدت وزش باد قابل توجهی برای استفاده از انرژی باد برخوردار است.

در مجموع نقشه‌های مربوط به هر دو روش OK و IDW تا حدودی هموار به نظر می‌رسد. این موضوع لزوم بررسی استفاده از متغیرهای محیطی تأثیرگذار بر سرعت باد از طریق روش‌های چندمتغیره زمین‌آماری را مطرح می‌کند تا بتوان به الگوی واقع‌بینانه‌تری از پراکنش مکانی سرعت باد در سطح کشور دست‌یافت. از طرفی، نقشهٔ خطای تخمین تولیدشده به روش زمین‌آماری OK ابزار مفیدی در تعیین محل ایجاد ایستگاه‌های جدید (در صورت امکان) برای پایش پارامترهای هواشناسی به کار می‌رود.

منابع

- امیدوار، ک. و دهقان طرزجانی، م. (۱۳۹۱). پتانسیل سنجی و برآورد مشخصه‌های نیروی باد برای تولید انرژی در ایستگاه‌های همدیدی استان یزد، *فصلنامه تحقیقات جغرافیایی*، ۲(۲۷): ۱۴۹-۱۶۸.
- ثقفی، م. (۱۳۸۲). انرژی‌های تجدیدپذیر نوین. مؤسسه انتشارات و چاپ دانشگاه تهران، چاپ دوم.
- جعفری، ح؛ عزیزی، ع؛ نصیری، ح. و عابدی، س. (۱۳۹۲). تحلیل تناسب اراضی جهت استقرار نیروگاه‌های بادی در استان اردبیل با استفاده از مدل AHP و SAW در محیط سیستم اطلاعات جغرافیایی (GIS)، *علوم و تکنولوژی محیط زیست*، ۱۵(۲): ۲۳-۴۱.
- سایت تابناک. (۱۳۹۲). <http://www.tabnak.ir/fa/mobile/news/367357>
- صلاحی، ب. (۱۳۸۲). پتانسیل سنجی انرژی باد و برآش احتمالات واقعی وقوع باد با استفاده ازتابع توزیع چگالی احتمال ویبول در ایستگاه‌های سینوبیتیک استان اردبیل، *فصلنامه تحقیقات جغرافیایی*، ۷۲: ۷۸-۱۰۴.
- گندم‌کار، ا. (۱۳۸۸). ارزیابی انرژی پتانسیل باد در کشور ایران، *مجله جغرافیا و برنامه‌ریزی محیطی*، ۳۶(۴): ۸۵-۱۰۰.
- مجرد، ف. و همتی، ش. (۱۳۹۲). ارزیابی قابلیت‌های انرژی باد در استان‌های کرمانشاه و کردستان، *نشریه تحقیقات کاربردی علوم جغرافیایی*، ۲۹: ۱۳۷-۱۵۷.
- Bagiorgas, H.S.; Giouli, M.; Rehman, S. and Al-Hadhrami, L.M. (2011). Weibull Parameters Estimation Using Four Different Methods and Most Energy Carrying Wind Speed Analysis, *International Journal of Green Energy*, 8: 529–554.
- Bayem, H.; Petit, M.; Dessante, Ph.; Dufourd F. and Belhomme, R. (2007). Probabilistic Characterization of Wind Farms for Grid Connection Studies, *EWEA "European Wind Energy Conference & Exhibition"*, 7-10, Milan.
- Celluraa, M.; Cirrincioneb, G.; Marvugliaa, A. and Miraouic, A. (2008). Wind speed spatial estimation for energy planning in Sicily: Introduction and statistical analysis, *Renewable Energy*, 33: 1237–1250.
- Daniel, A.R.; Chen, A.A. (1991). Stochastic simulation and forecasting of hourly average wind speed sequences in Jamaica. *Sol Energy*, 46: 1–11.
- Delbari, M.; Afrasiab, P. and Jahani, S. (2013). Spatial interpolation of monthly and annual rainfall in northeast of Iran, *Meteorology and Atmospheric Physics*, 122(1-2): 103-113.
- ESRI (Environmental Systems Research Institute Inc) (2004). ArcGIS 9. Getting Started with ArcGIS. ESRI, Redlands.
- Goovaerts, P. (1997). *Geostatistics for natural resources evaluation*. Oxford University Press, New York.
- Isaaks, E.H. and Srivastava, R.M. (1989). *An Introduction to Applied Geostatistics*, New York: Oxford University Press.
- Keyhani, A.; Ghasemi-Varnamkhasti, M.; Khanali, M. and Abbaszadeh, R. (2010). An assessment of wind energy potential as a power generation source in the capital of Iran, *Tehran. J. Energy*, 35: 188–201.
- Luo, W.; Taylor, M.C. and Parker, S.R. (2008). A comparison of spatial interpolation methods to estimate continuous wind speed surfaces using irregularly distributed data from England and Wales, *Int. J. Climatol*, 28: 947–959.
- Mojarrad, F. and Hemmati, Sh. (2013). Evaluation of wind energy potentials in Kermanshah and Kurdistan, *Applied research in geographical science*, 13(29): 137-157.
- Mostafaeipour, A.; Sedaghat, A.; Dehghan-Niri, A.A. and Kalantar, V. (2011). Wind energy feasibility study for city of Shahrbabak in Iran, *Renewable and Sustainable Energy Reviews*, 15: 2545–2556.
- Phillips, D.L. and Marks, D.G. (1996). Spatial uncertainty analysis: propagation of interpolation errors in spatially distributed models, *Ecological Modelling*, 91: 213-229.
- Robertson, G.P. (2000). *GS+: Geostatistics for the environment sciences. GS+ User's Guide Version 5*, Plainwell, Gamma design software, 200 p.
- Saghafi, M. (2003). *The new renewable energies*, 2nd ed., Tehran university press.
- Salahi, B. (2004). Evaluation of Wind Energy and Fitting of Actual Probabilities of Wind Occurrence with Using

- Weibull Probability distribution Function at Synoptic Station of Ardebil Province, *Journal of Geographical Research*, 72: 87-104.
- Stevens, M.J.M. and Smulders, P.T. (1979). The estimation of the parameters of the Weibull wind speed distribution for wind energy utilization purposes, *Wind Eng.*, 3(2):132-45.
- Tackle, E.S. and Brown, J.M. (1978). Note on the use of Weibull statistics to characterize wind speed data, *J Appl Meteorol*, 17: 556-9.